

[文章编号] 1007-3949(2007)15-12-0889-04

·实验研究·

氧化型低密度脂蛋白及阿托伐他汀对培养的人脐静脉内皮细胞血管紧张素转化酶 2 表达的影响

周 鹏¹, 李志樑¹, 徐春生², 严全能¹, 陈文忠¹, 范智文¹

(南方医科大学附属珠江医院 1. 心内科, 2. 急诊科, 广东省广州市 510280)

[关键词] 内科学; 血管紧张素转化酶 2; 氧化型低密度脂蛋白; 阿托伐他汀; 人脐静脉内皮细胞

[摘要] 目的 探讨氧化型低密度脂蛋白对人血管内皮细胞血管紧张素转化酶 2 表达的影响及阿托伐他汀的干预作用。方法 用正常人新鲜血浆制备氧化型低密度脂蛋白, 人脐静脉内皮细胞株复苏、传代后取生长良好 3~6 代用于实验。分为空白对照组、不同浓度氧化型低密度脂蛋白组(终浓度分别为 20、40 及 80 mg/L)、不同浓度阿托伐他汀组(1、5 和 10 μmol/L)、不同时间组(40 mg/L 氧化型低密度脂蛋白和 5 μmol/L 阿托伐他汀分别刺激 6、12 和 24 h)及混合刺激组(5 μmol/L 阿托伐他汀 + 40 mg/L 氧化型低密度脂蛋白刺激 24 h)。提取细胞总 RNA 及蛋白, 逆转录聚合酶链反应检测血管紧张素转化酶 2 mRNA 的表达, 免疫印迹法检测血管紧张素转化酶 2 蛋白的表达。结果

氧化型低密度脂蛋白呈剂量和时间依赖性下调血管紧张素转化酶 2 mRNA 及蛋白的表达。与空白对照组比较, 不同浓度氧化型低密度脂蛋白组血管紧张素转化酶 2 mRNA 的表达分别降低为 73%、51% 和 33%, 蛋白的表达降低为 81%、50% 及 32%, 不同浓度组间比较差异亦有显著性($P < 0.01$); 氧化型低密度脂蛋白培养 6、12 和 24 h 时间组血管紧张素转化酶 2 mRNA 与对照组比较分别减少为 66%、55% 和 50%, 蛋白的表达与对照组比较降低为 63%、53% 及 49% ($P < 0.01$)。不同浓度阿托伐他汀及其培养不同时间组血管紧张素转化酶 2 mRNA 和蛋白的表达与对照组比较差异无统计学意义。阿托伐他汀能抑制氧化型低密度脂蛋白对血管紧张素转化酶 2 mRNA 和蛋白表达的下调, mRNA 表达增加为 1.63 倍, 蛋白表达增加为 1.60 倍 ($P < 0.01$)。结论 氧化型低密度脂蛋白呈剂量和时间依赖性下调血管紧张素转化酶 2 mRNA 和蛋白的表达, 阿托伐他汀能抑制这种作用。

[中图分类号] R5

[文献标识码] A

Effects of Oxidized Low Density Lipoprotein and Atorvastatin on Angiotensin-Converting Enzyme-2 in Human Umbilical Vein Endothelial Cells

ZHOUPENG¹, LIZHILIANG¹, XUCHUNSHENG², YANQUANNENG¹, CHENWENZHONG¹, and FANZHIWEN¹

(1. Department of Cardiology, 2. Department of Emergency, Zhujiang Hospital, Southern Medical University, Guangzhou 510282, Guangdong, China)

[KEY WORDS] Angiotensin-Converting Enzyme-2; Oxidized Low Density Lipoprotein; Atorvastatin; Human Umbilical Vein Endothelial Cells

[ABSTRACT] Aim To investigate the effects of oxidized low density lipoprotein (ox-LDL) and atorvastatin on gene and protein expression of angiotensin-converting enzyme-2 (ACE-2) in human umbilical vein endothelial cells (HUVEC). Methods HUVEC cultured with equal serum-free medium were used as control. Different concentration groups of ox-LDL and atorvastatin: HUVEC were treated with ox-LDL (20, 40 and 80 mg/L) and atorvastatin (1, 5 and 10 μmol/L) for 24 h, respectively.

In a time-control experiment, HUVEC were treated with ox-LDL at final concentration of 40 mg/L and atorvastatin of 5 μmol/L for 6, 12 and 24 h, respectively. HUVEC were preincubated with atorvastatin (5 μmol/L) for 1 h and then cocultured with ox-LDL (40 mg/L) for 24 h. Changes in both gene and protein expression of ACE-2 were determined by reverse transcription-polymerase chain reaction (RT-PCR) and Western blot analysis technique, respectively. Results Ox-LDL induced a concentration and time dependent decrease in gene and protein expression of ACE-2. When compared with that of control group, ACE-2 mRNA expression decreased to 73%, 51%, 33% and protein expression decreased to 81%, 50% and 32%, respectively, after treated with different concentrations of ox-LDL ($P < 0.01$). When treated with ox-LDL for 6, 12 and 24 h at concentration of 40 mg/L ox-LDL, ACE-2 mRNA expression in HUVEC decreased to 66%, 55% and 50% when compared with that of control group ($P < 0.01$), and protein expression decreased to 63%, 53% and 49% ($P < 0.01$), respectively. Gene expression and protein expression of ACE-2 in groups treated with atorvastatin alone showed no significant difference when compared with that of control groups ($P > 0.05$). Pretreatment of HUVEC with simvastatin (5 μmol/L) for 1 h could obviously inhibited 40 mg/L ox-

[收稿日期] 2007-08-27 [修回日期] 2007-12-01

[基金项目] 广东省自然科学基金(06301193)

[作者简介] 周鹏, 硕士, E-mail 为 ZHOUPENG707707@sohu.com。通讯作者李志樑, 教授, 博士研究生导师, 研究方向为冠心病的免疫机制, E-mail 为 Liz06@163.com。徐春生, 博士, 副教授, 研究方向为糖尿病性心脏病。

LDL-induced gene and protein downregulated expression of ACE-2 in HUVEC, which differed significantly from group without atorvastatin pretreated ($P < 0.01$). **Conclusions** Ox-LDL can downregulate gene expression and protein expression of ACE-2 in HUVEC in both concentration and time dependent manners, while atorvastatin may play a role in inhibiting the downregulation effects of ox-LDL to ACE-2 gene and protein expression.

肾素—血管紧张素系统 (renin angiotensin system, RAS) 与脂代谢紊乱在动脉粥样硬化 (atherosclerosis, As) 形成中相互影响, 阻断 RAS 可通过抗高血压、抗炎、抗增殖和氧化应激等产生强大的抗 As 作用^[1]。血管紧张素转化酶 2 (angiotensin-converting enzyme, ACE-2) 水解血管紧张素Ⅰ (angiotensin Ⅰ, Ang Ⅰ) 生成血管紧张素 (1-7), 发挥与 ACE 相抗衡的作用。本研究采用逆转录聚合酶链反应 (reverse transcription-polymerase chain reaction, RT-PCR) 及免疫印迹法观察氧化型低密度脂蛋白 (oxidized low density lipoprotein, ox-LDL) 及阿托伐他汀对培养的人脐静脉内皮细胞 (human vascular endothelial cells, HUVEC) ACE-2 表达的影响, 并初步探讨其机制。

1 材料和方法

1.1 主要材料

HUVEC 细胞株购自 Cascade Biologics 公司, 山羊抗人 ACE-2 多克隆抗体购自美国 Sanata Cruz 公司, 鼠抗山羊多克隆抗体购自北京中杉金桥生物技术公司, 内皮细胞生长添加物 (endothelial cell growth supplement, ECGS) 购自美国 Sigma 公司, M199 培养基购自美国 Gibco 公司, 胎牛血清 (fetal bovine serum, FBS) 购自杭州四季青公司, 阿托伐他汀由辉瑞制药有限公司提供。RT-PCR 试剂盒购于 Tiangen 生化科技有限公司。CO₂ 培养箱为美国 Thermo Forma 公司产品, PCR 仪和电泳仪为德国 Biometra 公司产品。

1.2 氧化型低密度脂蛋白的制备

正常人新鲜血浆经密度梯度超速离心 (10 °C, 50 kr/min 离心 5 h) 分离低密度脂蛋白 (low density lipoprotein, LDL), 吸取 LDL 后置于生理盐水中透析 24 h (4 °C, 每 6 h 换液 1 次), LDL 置于含 50 μmol/L CuSO₄ 缓冲液中, 37 °C 温育 24 h, 加 EDTA 终止氧化反应, 4 °C 透析 6 h × 6 次, 以充分除去 Cu²⁺ 和 EDTA。制备的 ox-LDL 经 4 g/L 琼脂糖凝胶电泳, 苏丹黑染色后观察迁移率以验证氧化程度, Bradford 法进行蛋白定量。

1.3 阿托伐他汀溶液的配置

阿托伐他汀原料药 60.47 mg, 溶于 1 mL 55 °C 无水乙醇中, 加入 0.1 mol/L NaOH 1.5 mL, 静置 15 min, 以 HCl 调 pH 7.2, 加 PBS 至总体积 5 mL, 过滤后

分装, -70 °C 冻存, 贮存浓度为 10 mmol/L。

1.4 人脐静脉内皮细胞株的复苏和传代

冻存细胞株复苏后接种于 M199 培养基 (pH 7.4, 含 10% FBS、50 ng/L ECGS、5 ku/L 肝素、100 ku/L 青霉素和 100 mg/L 链霉素), 置 37 °C、5% CO₂ 培养箱中培养, 隔天换液一次, 2~3 天后铺满培养瓶。0.25% 胰蛋白酶进行消化、传代, 取 3~6 代增殖细胞制成细胞悬液。按 2.0×10^6 个细胞/孔的细胞密度接种于 6 孔板, 加含 10% FBS 的 M199 培养基置于 37 °C、5% CO₂ 孵箱中进行培养, 待 HUVEC 生长呈亚汇合融合状态时, 换以无血清培养基培养 24 h, 分别加入不同浓度 ox-LDL 及阿托伐他汀刺激。

1.5 实验分组

空白对照组为无血清培养基培养; 不同浓度 ox-LDL 组为终浓度 20、40 和 80 mg/L ox-LDL 与 HUVEC 孵育 24 h; 不同浓度阿托伐他汀组为终浓度 1、5 和 10 μmol/L 阿托伐他汀与 HUVEC 孵育 24 h; 混合刺激组为 5 μmol/L 阿托伐他汀与 HUVEC 孵育 1 h 后加入 40 mg/L ox-LDL 孵育 24 h; 不同时间组为 40 mg/L ox-LDL 或 5 μmol/L 阿托伐他汀与 HUVEC 孵育 6、12 及 24 h。各组均设 6 个复孔。

1.6 逆转录聚合酶链反应检测血管紧张素转化酶 2 mRNA 的表达

提取总 RNA, -70 °C 保存备用。所得 RNA 吸光度值 A₂₆₀/A₂₈₀ 在 1.8~2.0, 纯度适合作 RT-PCR 模板。将 RNA 逆转录生成的 cDNA 作为模板进行扩增。ACE-2 上游引物 5'-CAT TGG AGC AAG TGT TGG ATC TC-3', 下游引物 5'-GAG CTA ATG CAT GCC ATT CTC A-3', 目的产物扩增片段为 108 bp, 内参 GAPDH 上游引物 5'-AGA AGG CTG GGG CTC ATT TG-3', 下游引物 5'-AGG GGC CAT CCA CAG TCT TC-3', 目的产物扩增片段为 258 bp。PCR 反应条件均为 95 °C 预变性 2 min, 94 °C 变性 30 s → 55.5 °C 退火 30 s → 72 °C 延伸 45 s, 循环 34 次, 最后延伸 7 min。取 12 μL 扩增产物于 1.5% 琼脂糖凝胶中电泳, 用凝胶图像分析仪扫描分析各条带, 测定其吸光度值, 并与恒量表达的 GAPDH 相对比值作为半定量指标。

1.7 免疫印迹法检测血管紧张素转化酶 2 蛋白的表达

RIPA(使用前加入单去污裂解液)裂解组织总蛋白, Bradford 法测定蛋白浓度, 分装后 -70 °C 保存。

制备 8% 分离胶和 5% 浓缩胶, 取 50 μg 蛋白质煮沸持续 5 min 使蛋白质变性, 上样后分离胶 60 V, 浓缩胶 100 V 电泳, 总时间 3 h 左右, 转至 PVDF 膜上, 用 5% 脱脂奶粉室温下封闭 1 h, 然后加入按 1:250 稀释的一抗(山羊抗人 ACE-2 多抗), 4℃ 培育过夜, 用 0.1% 吐温 20 的 Tris 缓冲液洗 3 次, 加入按 1:500 稀释的二抗(辣根过氧化物酶标记鼠抗羊 IgG), 室温培育 1 h, 底物发光法进行显色发光。胶片扫描后分析光密度值, 各实验组之间进行半定量分析和比较。

1.8 统计学处理

数据以 $\bar{x} \pm s$ 表示, 两组间均数比较采用配对 *t* 检验, 多组均数间比较进行方差齐性检验和单因素方差分析。采用 SPSS 11.5 统计软件进行统计分析, $P < 0.05$ 为差异有统计学意义。

2 结果

2.1 人脐静脉内皮细胞的鉴定及细胞活力

在倒置显微镜下, HUVEC 为单层生长, 呈梭形鱼贯状排列或呈多角形镶嵌排列。(I)因子单抗间接免疫荧光染色阳性率为 100%, 证明所培养的细胞为 HUVEC。且 HUVEC 存活率在 96% 以上。

2.2 不同浓度氧化型低密度脂蛋白和阿托伐他汀对血管紧张素转化酶 2 mRNA 和蛋白表达的影响

基础状态下, 培养的 HUVEC 即有 ACE-2 mRNA 和蛋白的表达。经 ox-LDL 刺激后, ACE-2 mRNA 和蛋白的表达减少, 呈剂量依赖性。对照组与各浓度阿托伐他汀组 ACE-2 mRNA 和蛋白的表达差异没有显著性。混合刺激组与 40 mg/L ox-LDL 组比较 ACE-2 mRNA 的表达增加为 1.63 倍, 蛋白表达增加为 1.60 倍($P < 0.01$; 表 1 和图 1)。

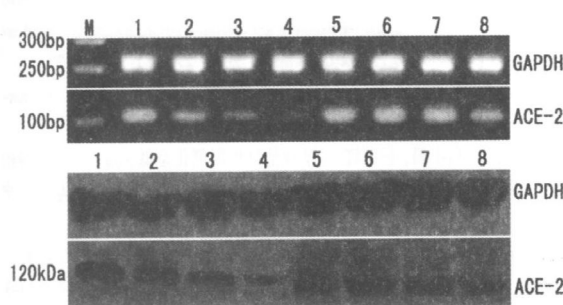


图 1. 不同浓度氧化型低密度脂蛋白和阿托伐他汀对血管紧张素转化酶 2 mRNA 和蛋白表达的影响 M 为 Marker, 1 为对照组, 2 为 20 mg/L ox-LDL 组, 3 为 40 mg/L ox-LDL 组, 4 为 80 mg/L ox-LDL 组, 5 为 1 μmol/L 阿托伐他汀, 6 为 5 μmol/L 阿托伐他汀, 7 为 10 μmol/L 阿托伐他汀组, 8 为混合刺激组。

表 1. 不同浓度氧化型低密度脂蛋白和阿托伐他汀对血管紧张素转化酶 2 mRNA 和蛋白表达的影响 ($n=6$)

分组	mRNA	蛋白
对照组	0.697 ± 0.087	0.646 ± 0.096
ox-LDL 组		
20 mg/L	0.506 ± 0.079 ^{ab}	0.525 ± 0.085 ^{ab}
40 mg/L	0.355 ± 0.057 ^{ab}	0.324 ± 0.046 ^{ab}
80 mg/L	0.232 ± 0.045 ^{ab}	0.209 ± 0.055 ^{ab}
阿托伐他汀组		
1 μmol/L	0.737 ± 0.071	0.659 ± 0.081
5 μmol/L	0.784 ± 0.087	0.710 ± 0.059
10 μmol/L	0.779 ± 0.079	0.706 ± 0.083
混合刺激组	0.578 ± 0.082 ^c	0.518 ± 0.080 ^c

a 为 $P < 0.01$, 与对照组比较; b 为 $P < 0.01$, 不同浓度组间比较; c 为 $P < 0.01$, 与 40 mg/L 氧化型低密度脂蛋白组比较。

2.3 氧化型低密度脂蛋白和阿托伐他汀作用不同时间对血管紧张素转化酶 2 mRNA 和蛋白表达影响

经 ox-LDL 刺激后, ACE-2 mRNA 和蛋白的表达减少, 呈时间依赖性。不同时间点阿托伐他汀组 ACE-2 mRNA 和蛋白的表达差异没有显著性(表 2 和图 2)。

表 2. 氧化型低密度脂蛋白和阿托伐他汀作用不同时间对血管紧张素转化酶 2 mRNA 和蛋白表达的影响 ($n=6$)

分组	mRNA	蛋白
对照组	0.697 ± 0.079	0.646 ± 0.096
ox-LDL 组		
6 h	0.461 ± 0.050 ^a	0.407 ± 0.061 ^a
12 h	0.382 ± 0.060 ^a	0.342 ± 0.072 ^a
24 h	0.345 ± 0.062 ^a	0.316 ± 0.059 ^a
阿托伐他汀组		
6 h	0.703 ± 0.072	0.631 ± 0.070
12 h	0.724 ± 0.081	0.681 ± 0.097
24 h	0.765 ± 0.068	0.684 ± 0.081

a 为 $P < 0.01$, 与对照组比较。

3 讨论

血管紧张素转化酶 2(ACE-2) 在血管内皮细胞高表达, 目前被看成是一种血管舒张物质和心血管系统保护因子, 参与高血压、As、心力衰竭、糖尿病以及肾脏、生殖、呼吸等系统疾病的发生、发展过程^[2]。Zulli 等^[3] 通过免疫组织化学方法证实, 在 As 病变内巨噬细胞、平滑肌细胞及新生内膜内皮细胞中均可

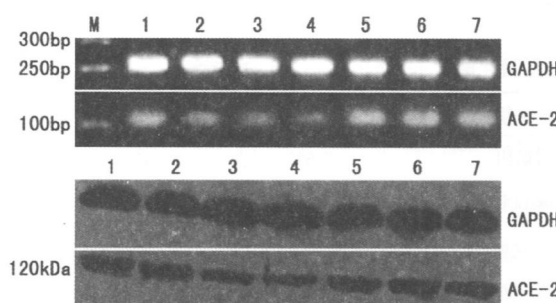


图2. 氧化型低密度脂蛋白和阿托伐他汀作用不同时间对血管紧张素转化酶2 mRNA 和蛋白表达的影响 M为Marker, 1为对照组, 2为ox-LDL刺激6 h, 3为ox-LDL刺激12 h, 4为ox-LDL刺激24 h, 5为阿托伐他汀刺激6 h, 6为阿托伐他汀刺激12 h, 7为阿托伐他汀刺激24 h。

检测 Ang $\textcircled{2}$ 型受体及 ACE-2 蛋白表达, 并认为 Ang $\textcircled{2}$ 型受体及 ACE-2 参与 As 发生发展并具有抗 As 作用。

氧化型低密度脂蛋白(ox-LDL)与RAS存在密切联系, 共同促进As发生和发展。已有研究发现ox-LDL可上调ACE基因及Ang $\textcircled{1}$ 型受体基因表达, 增强Ang $\textcircled{2}$ 生物学效应^[4,5]。本研究发现, ox-LDL呈浓度及时间依赖性使ACE-2表达下调, 其作用不仅直接减少对底物Ang iv及Ang $\textcircled{2}$ 降解促进As等形成, 更使具有扩血管作用的Ang(1-7)生成减少, 导致血管收缩, 通过升高血压这一机械因素促进As的发生。近年的研究表明, Ang $\textcircled{2}$ 无论在体内还是在体外都可促进LDL的氧化并诱导内皮细胞、巨噬细胞和平滑肌细胞表达LOX-1, 增加ox-LDL的摄取^[6,7], 同时, Ang $\textcircled{2}$ 可下调ACE-2的表达^[8]。我们则认为ox-LDL、ACE-2、Ang $\textcircled{2}$ 三者间彼此影响, 加重脂质沉积。

他汀类药物的临床益处不完全依赖于其调脂作用, Goode等^[9]对临床降脂治疗的研究资料进行回顾性分析发现高血脂患者血浆胆固醇水平的下降多伴有血压下降, 引起血压下降的药物大多为他汀类药物。郝文君等^[10]发现他汀类药物可以减少ox-LDL特异受体LOX-1表达发挥抗As作用。同时他汀类药物还通过下调Ang $\textcircled{1}$ 型受体mRNA表达及受体密度, 削弱Ang $\textcircled{2}$ 的生物学效应^[11]。本研究结果表明, 用阿托伐他汀预处理HUVEC后, 阿托伐他汀能显著抑制ox-LDL对ACE-2 mRNA及蛋白表达的下调效应, 从而使ACE-2水解Ang iv和Ang $\textcircled{2}$ 增

加, 使具有缩血管效应的血管紧张素肽类含量减少及提高机体中舒血管物质Ang(1-7)发挥临床益处。阿托伐他汀单独刺激对HUVEC ACE-2表达无影响, 考虑与阿托伐他汀本身无活性, 口服吸收后的水解产物在体内竞争性地抑制胆固醇合成过程中的限速酶羟甲戊二酰辅酶A还原酶而发挥作用有关, 其机制尚需进一步探讨。

本研究发现阿托伐他汀通过抑制ox-LDL下调ACE-2表达而发挥心血管系统保护作用, 这种作用独立于其调脂效应, 为他汀类药物降低临床心血管病事件提供了又一可能的基础机制。目前关于ACE-2的研究尚处于起步阶段, 进一步探讨其分子机制、生理功能以及如何有效地调控它的表达, 有助于我们更全面系统地了解RAS, 在心血管疾病的临床防治中具有重要意义。

[参考文献]

- [1] Schmieder RE, Hilgers KF, Schlaich MP, Schmidt BM. Renin angiotensin system and cardiovascular risk [J]. *Lancet*, 2007, **369** (9568): 1 208-219.
- [2] Thomas MC, Tikellis C. ACE-2: an ACE up the sleeve [J]. *Current Enzyme Inhibition*, 2005, **1** (1): 51-63.
- [3] Zulli A, Louise M, Burrell, Robert E, Widdop, Black MJ, et al. Immunolocalization of ACE-2 and AT2 receptors in rabbit atherosclerotic plaques [J]. *J Histochem Cytochem*, 2006, **54** (2): 147-150.
- [4] Li D, Saldeen T, Romeo F, Mehta JL. Oxidized LDL upregulates angiotensin $\textcircled{2}$ type 1 receptor expression in cultured human coronary artery endothelial cells: the potential role of transcription factor NF-kappaB [J]. *Circulation*, 2000, **102** (16): 1 970-976.
- [5] Li D, Singh RM, Liu L, Chen H, Singh BM, Kazzaz N, Mehta JL, et al. Oxidized-LDL through LOX-1 increases the expression of angiotensin converting enzyme in human coronary artery endothelial cells [J]. *Cardiovasc Res*, 2003, **57** (1): 238-243.
- [6] 张磊, 朱建华, 黄元伟, 姚航平. 血管紧张素 $\textcircled{2}$ 对巨噬细胞(THP-1 细胞)凝集素样氧化低密度脂蛋白受体表达的影响 [J]. 中国病理生理杂志, 2003, **19** (2): 230-234.
- [7] Limor R, Kaplan M, Sawamura T, Sharon O, Keidar S, Weisinger G, et al. Angiotensin II increases the expression of lectin-like oxidized low-density lipoprotein receptor-1 in human vascular smooth muscle cells via a lipoxygenase-dependent pathway [J]. *J of Hypertension*, 2005, **18** (3): 299-307.
- [8] Gallagher PE, Chappell MC, Ferrario CM, Tallant EA. Distinct roles for ANG $\textcircled{2}$ and ANG-(1-7) in the regulation of angiotensin converting enzyme 2 in rat astrocytes [J]. *Am J Physiol Cell Physiol*, 2006, **290** (2): C420-C426.
- [9] Goode GK, Miller JP, Heagerty AM. Hyperlipidaemia, hypertension, and coronary heart disease [J]. *Lancet*, 1995, **345** (8946): 362-364.
- [10] 郝文君, 白小涓, 杨向红. 辛伐他汀抑制氧化型低密度脂蛋白诱导的人脐静脉内皮细胞血凝素样氧化型低密度脂蛋白受体的表达 [J]. 中国动脉硬化杂志, 2006, **14** (4): 309-312.
- [11] Ichiki T, Takeda K, Tokunou T, Iino N, Egashira K, Shimokawa H, et al. Downregulation of angiotensin $\textcircled{2}$ type 1 receptor by hydrophobic 3-hydroxy-3-methylglutaryl coenzyme A reductase inhibitors in vascular smooth muscle cells [J]. *Arterioscler Thromb Vasc Biol*, 2001, **21** (12): 1 896-901.

(本文编辑 文玉珊)